

Institut für Automatisierungs- und Regelungstechnik

Formelsammlung zum Skriptum Modellbildung

Kapitel 2

Polarkoordinaten:

$$x(t) = r(t) \cos(\varphi(t)) \quad \text{und} \quad y(t) = r(t) \sin(\varphi(t))$$

Kugelkoordinaten:

$$x(t) = r(t) \sin(\theta(t)) \cos(\varphi(t)), \quad y(t) = r(t) \sin(\theta(t)) \sin(\varphi(t)), \quad z(t) = r(t) \cos(\theta(t))$$

Resultierende Kraft in einem zentralen Kräftesystem:

$$\mathbf{f}_R = \sum_{i=1}^n \mathbf{f}_i$$

Drehmoment:

$$\boldsymbol{\tau}^{(0)} = \mathbf{r} \times \mathbf{f} = \begin{bmatrix} x \\ y \\ z \end{bmatrix} \times \begin{bmatrix} f_x \\ f_y \\ f_z \end{bmatrix} = \begin{bmatrix} y f_z - z f_y \\ z f_x - x f_z \\ x f_y - y f_x \end{bmatrix}$$

Resultierendes Moment bezüglich des Punktes A:

$$\boldsymbol{\tau}_R^{(A)} = \sum_{i=1}^n \boldsymbol{\tau}_i^{(A)} = \underbrace{\sum_{i=1}^n \tau_{i,x}^{(A)} \mathbf{e}_x}_{\boldsymbol{\tau}_{R,x}^{(A)}} + \underbrace{\sum_{i=1}^n \tau_{i,y}^{(A)} \mathbf{e}_y}_{\boldsymbol{\tau}_{R,y}^{(A)}} + \underbrace{\sum_{i=1}^n \tau_{i,z}^{(A)} \mathbf{e}_z}_{\boldsymbol{\tau}_{R,z}^{(A)}}$$

Masse eines Starrkörpers:

$$m = \int_V \rho(x, y, z) dV$$

Schwerpunkt eines Körpers:

$$\begin{aligned} \mathbf{r}_S &= \frac{\int_{V_1} \mathbf{r} \rho_1(x, y, z) dV_1 + \dots + \int_{V_j} \mathbf{r} \rho_j(x, y, z) dV_j + \dots + \int_{V_N} \mathbf{r} \rho_N(x, y, z) dV_N}{m} \\ &= \frac{\sum_{j=1}^N \mathbf{r}_{Sj} m_j}{\sum_{j=1}^N m_j} \end{aligned}$$

Impulserhaltung einer Punktmasse:

$$\frac{d}{dt} \mathbf{p} = \frac{d}{dt} (m \mathbf{v}) = \mathbf{f}$$

Translatorische kinetische Energie eines Starrkörpers:

$$T = \frac{1}{2} m \dot{\mathbf{r}}_S^T \dot{\mathbf{r}}_S$$

Potentielle Energie:

$$V(\mathbf{r}) = \int_{\mathbf{r}_I}^{\mathbf{r}} \mathbf{f}_R(\tilde{\mathbf{r}}) \cdot d\tilde{\mathbf{r}} \quad \text{mit} \quad V(\mathbf{r}_I) = 0$$

Dissipative Kräfte

| | | |
|------------------------|---|---|
| Körper in Fluid: | $f_D \mathbf{e}_v = -c_W A \frac{\rho_f}{2} v^2 \mathbf{e}_v$ | Widerstandsbeiwert $c_W > 0$ |
| Haftreibung: | $f_H = \mu_H f_N$ | Haftreibungskoeffizient $\mu_H > 0$ |
| Trockene Gleitreibung: | $f_C = \mu_C f_N \operatorname{sign}(\dot{x})$ | Gleitreibungskoeffizient $\mu_C > 0$ |
| Rollwiderstand: | $f_R = \mu_R f_V$ | Rollreibungskoeffizient $\mu_R > 0$ |
| Viskose Reibung: | $f_r = \mu_V \Delta v$ | viskoser Reibungskoeffizient $\mu_V > 0$ |
| Seilreibung: | $f_{S2} = f_{S1} \exp(\mu \alpha)$ | Haftreibungskoeffizient $\mu = \mu_H > 0$ |

Impulserhaltung für Körper mit veränderlicher Masse:

$$m(t) \frac{d}{dt} \mathbf{v} = \mathbf{f} - \mu \mathbf{w}(t)$$

$$\frac{d}{dt} m = -\mu$$

Drehimpulserhaltung:

$$\frac{d}{dt} \mathbf{l}^{(0)} = \frac{d}{dt} (\mathbf{r} \times \mathbf{p}) = \boldsymbol{\tau}^{(0)}$$

Rotatorische kinetische Energie eines Starrkörpers:

$$T_r = \frac{1}{2} \theta_{zz} \dot{\varphi}^2$$

Massenträgheitsmoment

Für Drehungen um den Schwerpunkt S in der \mathbf{e}_z -Achse:

$$\theta_{zz}^{(S)} = \int_V (r^{(S)})^2 dm = \int_V \left((x^{(S)})^2 + (y^{(S)})^2 \right) dm$$

Verschiebung in einen allgemeinen Aufpunkt A (Satz von Steiner):

$$\theta_{zz}^{(A)} = \theta_{zz}^{(S)} + m \left((x_S^{(A)})^2 + (y_S^{(A)})^2 \right)$$

Kapitel 3

Wärmestromdichte:

$$\dot{\mathbf{q}}(t, \mathbf{x}) = -\Lambda(\mathbf{x}, T) \cdot \nabla T(t, \mathbf{x})$$

Fouriersche Wärmeleitungsgleichung:

$$\rho c_p(\mathbf{x}, T) \frac{\partial T(t, \mathbf{x})}{\partial t} = \nabla \cdot (\Lambda(\mathbf{x}, T) \nabla T(t, \mathbf{x})) + g(t, \mathbf{x}, T)$$

Fouriersche Wärmeleitungsgleichung für ein isotropes, homogenes Material mit temperaturunabhängiger Wärmeleitfähigkeit λ in

- kartesischen Koordinaten:

$$\rho c_p \frac{\partial T}{\partial t} = \lambda \left(\frac{\partial^2 T}{\partial x^2} + \frac{\partial^2 T}{\partial y^2} + \frac{\partial^2 T}{\partial z^2} \right) + g(t, x, y, z, T)$$

- Zylinderkoordinaten:

$$\rho c_p \frac{\partial T}{\partial t} = \lambda \left(\frac{1}{r} \frac{\partial}{\partial r} \left(r \frac{\partial T}{\partial r} \right) + \frac{1}{r^2} \frac{\partial^2 T}{\partial \varphi^2} + \frac{\partial^2 T}{\partial z^2} \right) + g(t, r, \varphi, z, T)$$

- Kugelkoordinaten:

$$\rho c_p \frac{\partial T}{\partial t} = \lambda \left(\frac{1}{r^2} \frac{\partial}{\partial r} \left(r^2 \frac{\partial T}{\partial r} \right) + \frac{1}{r^2 \sin(\theta)} \frac{\partial}{\partial \theta} \left(\sin(\theta) \frac{\partial T}{\partial \theta} \right) + \frac{1}{r^2 \sin^2(\theta)} \frac{\partial^2 T}{\partial \varphi^2} \right) + g(t, r, \theta, \varphi, T)$$

Dimensionslose Kennzahlen:

| Kennzahl | Formel | Grenzschichtdicke lam. | Grenzschichtdicke turb. |
|---------------|---|---|--|
| Reynolds-Zahl | $\text{Re}_x = \frac{u_\infty x}{\nu}$ | $\delta_u(x) = 5 \sqrt{\frac{\nu x}{u_\infty}} = \frac{5x}{\sqrt{\text{Re}_x}}$ | $\delta_u(x) = 0.37 \text{Re}_x^{1/5}$ |
| Prandtl-Zahl | $\text{Pr} = \frac{\nu}{a}$ | $\delta_u(x) = \delta_T(x) \sqrt[3]{\text{Pr}}$ | $\delta_u(x) = \delta_T(x)$ |
| Nußelt-Zahl | $\text{Nu}_x = \frac{\dot{q}_x x}{(T_P - T_\infty) \lambda} = \frac{\alpha_x x}{\lambda}$ | | |

Gemittelte Wärmestromdichte:

$$\dot{q} = \frac{1}{L} \int_0^L \dot{q}_x \, dx = \frac{1}{L} \int_0^L \alpha_x \, dx (T_P - T_\infty) = \alpha (T_P - T_\infty)$$

Mittlere Nußelt-Zahl:

$$\begin{aligned} \text{Nu} &= \dot{q} \frac{L}{(T_P - T_\infty) \lambda} = \frac{\alpha L}{\lambda} \\ &= \begin{cases} 2\sqrt{\text{Re}_L} \varphi(\text{Pr}) & \text{wenn } L \leq x_c \\ 2\sqrt{\text{Re}_c} \varphi(\text{Pr}) + 0.0370 (\text{Re}_L^{4/5} - \text{Re}_c^{4/5}) \sqrt[3]{\text{Pr}} & \text{sonst} \end{cases} \\ &= \begin{cases} 2\text{Nu}_{\text{lam},L} & \text{wenn } L \leq x_c \\ 2\text{Nu}_{\text{lam},x_c} + \frac{5}{4} (\text{Nu}_{\text{tur},L} - \text{Nu}_{\text{tur},x_c}) & \text{sonst} \end{cases} \end{aligned}$$

Spektrale Strahlung eines schwarzen Körpers:

$$E_{\lambda,b}(\lambda, T) = \frac{2\pi hc_0^2}{\lambda^5 \left(e^{\frac{hc_0}{\lambda kT}} - 1 \right)}$$

Wiensches Verschiebungsgesetz:

$$\lambda = \frac{0.002897768 \text{ m K}}{T}$$

Emissions- und Absorptionsvermögen:

| | |
|------------------------------|--|
| Spektrale Emissivität | $\varepsilon_\lambda(\lambda, T) = \frac{E_\lambda(\lambda, T)}{E_{\lambda,b}(\lambda, T)} \in [0, 1]$ |
| Spektraler Absorptionsgrad | $\alpha_\lambda(\lambda) = \frac{G_{\lambda,a}(\lambda)}{G_\lambda(\lambda)} \in [0, 1]$ |
| Spektraler Reflexionsgrad | $\rho_\lambda(\lambda) = \frac{G_{\lambda,r}(\lambda)}{G_\lambda(\lambda)} \in [0, 1]$ |
| Spektraler Transmissionsgrad | $\tau_\lambda(\lambda) = \frac{G_{\lambda,t}(\lambda)}{G_\lambda(\lambda)} \in [0, 1]$ |

Totale Ausstrahlung:

$$E(T) = \int_0^\infty E_\lambda(\lambda, T) d\lambda = \int_0^\infty \varepsilon_\lambda(\lambda, T) E_{\lambda,b}(\lambda, T) d\lambda$$

Für einen schwarzen Strahler (Stefan-Boltzmann Gesetz):

$$E_b(T) = \int_0^\infty E_{\lambda,b}(\lambda, T) d\lambda = \int_0^\infty \frac{2\pi hc_0^2}{\lambda^5 \left(e^{\frac{hc_0}{\lambda kT}} - 1 \right)} d\lambda = \sigma T^4$$

Definition des Sichtfaktors:

$$F_{ij} = \frac{J_{ji}}{A_i J_i} = \frac{1}{A_i} \int_{A_i} \int_{A_j} \frac{\cos(\theta_i) \cos(\theta_j)}{s_{ij}^2 \pi} dA_j dA_i$$

Reziprozitätsgesetz der Sichtfaktoren:

$$A_i F_{ij} = A_j F_{ji}$$

Summationsregel der Sichtfaktoren:

$$1 = \sum_{j=1}^N F_{ij} \quad \forall i \in \{1, 2, \dots, N\}$$

Von einer Oberfläche austretende Nettowärmestromdichte:

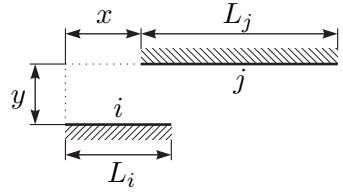
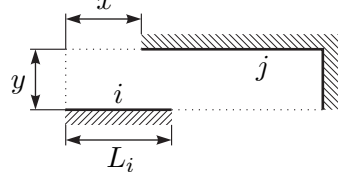
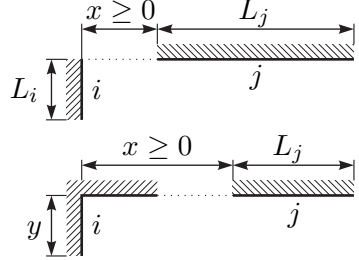
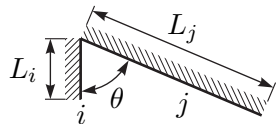
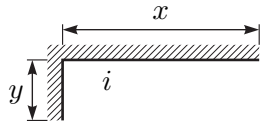
$$\begin{aligned} \dot{\mathbf{q}} &= (\mathbf{E} - \mathbf{F})(\mathbf{E} - (\mathbf{E} - \text{diag}\{\boldsymbol{\varepsilon}\})\mathbf{F})^{-1} \text{diag}\{\boldsymbol{\varepsilon}\} \sigma \mathbf{T}^4 \\ &= \text{diag}\{\boldsymbol{\varepsilon}\} (\mathbf{E} - \mathbf{F}(\mathbf{E} - \text{diag}\{\boldsymbol{\varepsilon}\}))^{-1} (\mathbf{E} - \mathbf{F}) \sigma \mathbf{T}^4 \end{aligned}$$

mit $\dot{\mathbf{q}} = [\dot{q}_i]_{i=1,\dots,N}$, $\boldsymbol{\varepsilon} = [\varepsilon_i]_{i=1,\dots,N}$, $\mathbf{T}^4 = [T_i^4]_{i=1,\dots,N}$, $\mathbf{G} = [G_i]_{i=1,\dots,N}$ und $\mathbf{F} = [F_{ij}]_{i=1,\dots,N, j=1,\dots,N}$

Sichtfaktoren von zwei-dimensionalen Strukturen:

$$F_{ij} = \frac{1}{a_i} \int_{a_i} \int_{a_j} \frac{\cos(\theta_i) \cos(\theta_j)}{2s_{ij}} da_j da_i = \frac{1}{2a_i} \int_{a_i} \sin(\theta_{i,1}) - \sin(\theta_{i,0}) da_i.$$

Einige Beispiele sind in nachfolgender Tabelle aufgelistet:

| | |
|--|--|
| $F_{ij} = \frac{1}{2L_i} \left(\sqrt{y^2 + (x + L_j)^2} + \sqrt{y^2 + (x - L_i)^2} - \sqrt{y^2 + (x + L_j - L_i)^2} - \sqrt{y^2 + x^2} \right)$ |  |
| $F_{ij} = \frac{1}{2L_i} \left(L_i + \sqrt{y^2 + (x - L_i)^2} - \sqrt{y^2 + x^2} \right)$ |  |
| $F_{ij} = \frac{1}{2L_i} \left(L_j + \sqrt{y^2 + x^2} - \sqrt{y^2 + (x + L_j)^2} \right)$ |  |
| $F_{ij} = \frac{1}{2L_i} \left(L_i + L_j - \sqrt{L_i^2 + L_j^2 - 2L_i L_j \cos(\theta)} \right)$ |  |
| $F_{ii} = 1 - \frac{\sqrt{y^2 + x^2}}{y + x}$ |  |

Stationäres Temperaturprofil in einer ebenen Wand:

$$T(x) = T_0 + (T_L - T_0) \frac{\int_0^x \frac{1}{\lambda(\tilde{x})} d\tilde{x}}{\int_0^L \frac{1}{\lambda(\tilde{x})} d\tilde{x}}$$

Stationäre Wärmestromdichte in einer mehrschichtigen, ebenen Wand:

$$\dot{q} = k(T_{\infty,0} - T_{\infty,L}) \quad \text{mit} \quad k = \frac{1}{\frac{1}{\alpha_0} + \sum_{i=1}^N \frac{L_i}{\lambda_i} + \frac{1}{\alpha_L}}$$

Stationäre Wärmestromdichte in einer mehrschichtigen, zylinderförmigen Wand:

$$\dot{q}(r) = (T_F - T_\infty) \frac{1}{r \underbrace{\frac{1}{r_0 \alpha_0} + \sum_{i=1}^N \frac{1}{\lambda_i} \ln\left(\frac{r_i}{r_{i-1}}\right) + \frac{1}{r_N \alpha_N}}_{=k(r)}}$$

Vom Radius unabhängiger, auf die Rohrlänge bezogener Wärmestrom:

$$\dot{q}^\circ = (T_F - T_\infty) \frac{2\pi}{\underbrace{\frac{1}{r_0 \alpha_0} + \sum_{i=1}^N \frac{1}{\lambda_i} \ln\left(\frac{r_i}{r_{i-1}}\right) + \frac{1}{r_N \alpha_N}}_{=k^\circ}}$$

Stationärer Temperaturverlauf eines Wärmetauschers:

$$T_h(x) = T_{h,1} + \frac{c_{p,c}\dot{m}_c(T_{c,1} - T_{h,1})}{c_{p,h}\dot{m}_h + c_{p,c}\dot{m}_c} \left(1 - \exp\left(-\left(\frac{1}{c_{p,h}\dot{m}_h} + \frac{1}{c_{p,c}\dot{m}_c}\right)K(x)\right) \right)$$
$$T_c(x) = T_{c,1} + \frac{c_{p,h}\dot{m}_h(T_{h,1} - T_{c,1})}{c_{p,h}\dot{m}_h + c_{p,c}\dot{m}_c} \left(1 - \exp\left(-\left(\frac{1}{c_{p,h}\dot{m}_h} + \frac{1}{c_{p,c}\dot{m}_c}\right)K(x)\right) \right)$$

Gesamtwärmestrom des Wärmetauschers:

$$\dot{Q} = \dot{m}_h c_{p,h} (T_{h,1} - T_{h,2}) = \dot{m}_c c_{p,c} (T_{c,2} - T_{c,1}) = K(L) \Delta T_{\log}$$

mit

$$\Delta T_{\log} = \frac{\Delta T_1 - \Delta T_2}{\ln \frac{\Delta T_1}{\Delta T_2}}$$

Differenzenquotienten für gleichförmige Schrittweiten:

| | |
|----------------------------------|---|
| 1. Ableitung, Vorwärtsdifferenz | $y'(x) = \frac{y(x + \Delta x) - y(x)}{\Delta x} + \mathcal{O}(\Delta x)$ |
| 1. Ableitung, Rückwärtsdifferenz | $y'(x) = \frac{y(x) - y(x - \Delta x)}{\Delta x} + \mathcal{O}(\Delta x)$ |
| 1. Ableitung, zentrale Differenz | $y'(x) = \frac{y(x + \Delta x) - y(x - \Delta x)}{2\Delta x} + \mathcal{O}(\Delta x^2)$ |
| 2. Ableitung, zentrale Differenz | $y''(x) = \frac{y(x - \Delta x) - 2y(x) + y(x + \Delta x)}{\Delta x^2} + \mathcal{O}(\Delta x^2)$ |

Finite Differenzen Methode für 1-dimensionales Wärmeleitproblem:

$$T_i^{j+1} = T_i^j + \frac{\Delta t a}{\Delta x^2} (T_{i-1}^j - 2T_i^j + T_{i+1}^j) \quad j \geq 0, i = 1, 2, \dots, N-1$$
$$T_0^{j+1} = T_0^j + \frac{2\Delta t a}{\Delta x^2} (T_1^j - T_0^j) \quad j \geq 0$$

mit den Anfangswerten

$$T_i^0 = T_A(x_i) \quad i = 0, 1, \dots, N-1$$

Analogie zwischen elektrischen und thermischen Netzwerken:

| Elektrische Größe | Einheit | Thermische Größe | Variable | Einheit |
|-------------------------|----------|------------------------|-----------|---------|
| Potentialdifferenz | V | Temperaturdifferenz | T | K |
| Elektrischer Strom | A | Wärmestrom | \dot{Q} | W |
| Elektrische Ladung | C | Enthalpie | H | J |
| Elektrischer Widerstand | Ω | Thermischer Widerstand | R | K/W |
| Elektrische Kapazität | F | Thermische Kapazität | C | J/K |

Thermischer Widerstand:

$$\Delta T = R \dot{Q}$$

Thermische Kapazität:

$$\dot{T} = \frac{\dot{Q}}{C}$$

Cauer Modell des 1-dimensionalen Wärmeleitproblems:

$$\underbrace{\frac{\Delta x A \rho c_p}{2}}_{=C_i} \dot{T}_i(t) = A \underbrace{\frac{\lambda}{\Delta x}}_{=\frac{1}{R_{i-1,i}}} (T_{i-1}(t) - T_i(t)) + A \underbrace{\frac{\lambda}{\Delta x}}_{=\frac{1}{R_{i,i+1}}} (T_{i+1}(t) - T_i(t)), \quad i = 1, 2, \dots, N-1$$

$$\underbrace{\frac{\Delta x}{2} A \rho c_p}_{=C_0} \dot{T}_0(t) = A \underbrace{\frac{\lambda}{\Delta x}}_{=\frac{1}{R_{0,1}}} (T_1(t) - T_0(t))$$

Konstanten:

| Konstante | Wert |
|----------------------------|---|
| Plancksche Konstante | $h = 6.626 \cdot 10^{-34} \text{ J s}$ |
| Lichtgeschwindigkeit | $c_0 = 2.998 \cdot 10^8 \text{ m s}^{-1}$ |
| Boltzmann Konstante | $k = 1.381 \cdot 10^{-23} \text{ J/K}$ |
| Stefan-Boltzmann Konstante | $\sigma = \frac{2 \pi^5 k^4}{15 c_0^2 h^3} = 5.67 \cdot 10^{-8} \text{ W K}^4/\text{m}^2$ |

Parameter von Luft bei Normzustand:

| Parameter | Variable | Wert |
|--------------------------|------------------------------|-------------------------|
| spez. Wärmekapazität | c_ν | 0.718 kJ/(kg K) |
| spez. Wärmekapazität | c_p | 1.005 kJ/(kg K) |
| spezifische Gaskonstante | $R_s = c_p - c_\nu$ | 287 J/(kg K) |
| Adiabatexponent | $\kappa = \frac{c_p}{c_\nu}$ | 1.4 |
| Dichte | ρ_0 | 1.292 kg/m ³ |
| Druck | p_0 | 101325 Pa |
| Temperatur | T_0 | 293.15 K |